
ГЕОХИМИЯ

УДК 552.03.

МАНТИЙНЫЕ ИСТОЧНИКИ ЧЕТВЕРТИЧНОГО ВУЛКАНИЗМА О. ЖОХОВА (О-ВА ДЕ ЛОНГА, ВОСТОЧНАЯ АРКТИКА): ИЗОТОПНО-ГЕОХИМИЧЕСКИЕ ХАРАКТЕРИСТИКИ БАЗАЛЬТОИДОВ И ВКЛЮЧЕНИЙ ШПИНЕЛЕВЫХ ЛЕРЦОЛИТОВ

© 2015 г. Член-корреспондент РАН В. Г. Сахно, Р. Ш. Крымский, Б. В. Беляцкий,
С. С. Шевченко, С. А. Сергеев

Поступило 30.06.2014 г.

DOI: 10.7868/S0869565215040180

В последние десятилетия большое внимание уделено происхождению Северного Ледовитого океана: морфологии его структур, геологическому строению, эволюции [1, 2].

Детальные исследования выявили целый ряд особенностей его эволюции. Так, формирование Тихого океана началось более 1 млрд лет назад, Индийского и Атлантического – более 250 млн лет назад, Северный Ледовитый океан молодой, в основном кайнозойский. Для него свойственные морфологические особенности, связанные с природой формирования различных его частей. Океан разделяется на два суббассейна – Евразийский и Амеразийский, отличающихся по строению и истории их развития [1]. Развитие Евразийского суббассейна определяется спрединговой природой, тогда как для Амеразийского – по морфологии и строению характерны черты континентальной окраины, испытавшей рифтогенез и распад на ряд блоков (рис. 1).

Эти два бассейна отличаются не только морфологией и процессами формирования, но и глубинным строением. Для Амеразийского бассейна свойственна деструкция континентальных окраин, наличие краевого плато с континентальной корой, ряд погруженных блоков с корой океанического типа. В районе Новосибирского архипелага геофизическими исследованиями выявлено последовательное утонение земной коры (котловины Макарова, Подводников). На шельфе Де-Лонга мощность коры возрастает до более 40 км [2] и представляет собой фрагмент древнего осадоч-

ного бассейна, более древнего, чем сам Северный Ледовитый океан [1]. Интенсивный рифтогенез, раскол древней континентальной коры, погружение блоков и поднятие в смежных областях сопровождаются интенсивным базальтоидным магматизмом.

В этом отношении Новосибирские о-ва и проявленный здесь вулканализм являются ключевыми для решения не только вопросов мезозойско-кайнозойской тектонической эволюции шельфа Восточно-Сибирского моря и моря Лаптевых при рассмотрении гипотезы раскрытия Амеразийского бассейна и природы древних осадочных бассейнов Северного Ледовитого океана, но и положения западной ветви Южно-Ануйской сuture [6]. Важное значение имеет изучение вулканализма о-вов Новосибирского архипелага (о-ва Жохова, Вилькицкого и др.) как индикаторов глубинных процессов и при сопоставлении с проявлениями континентального базальтоидного вулканализма, широко развитого в Арктической части северо-востока Азии и приуроченного к молодым наложенным впадинам рифтогенного типа, в которых происходила разгрузка напряжения, сопровождавшаяся щелочно-базальтовым вулканализмом. Установлено, что эти рифтогенные структуры имеют связь с подводными поднятием Менделеева и хребтом Ломоносова [7].

Таким образом, изучение вулканитов о. Жохова, который располагается в центре группы островов Де-Лонга, может существенно дополнить представления о природе Полярной Арктики и ее шельфовой зоне, которая здесь, на восточном отрезке, занимает огромную площадь.

Изотопно-геохимическое и петрологическое изучение вулканических образований о-вов Де-Лонга было выполнено ранее, но оно было ограничено исследованиями Sm–Nd- и Rb–Sr-изотопных систем и петрохимических характеристик [3, 5]. Мы дополнили эти данные анализом

Дальневосточный геологический институт
Дальневосточного отделения
Российской Академии наук, Владивосток
Всероссийский научно-исследовательский геологический
институт им. А.П. Карпинского, Санкт-Петербург
Санкт-Петербургский государственный университет

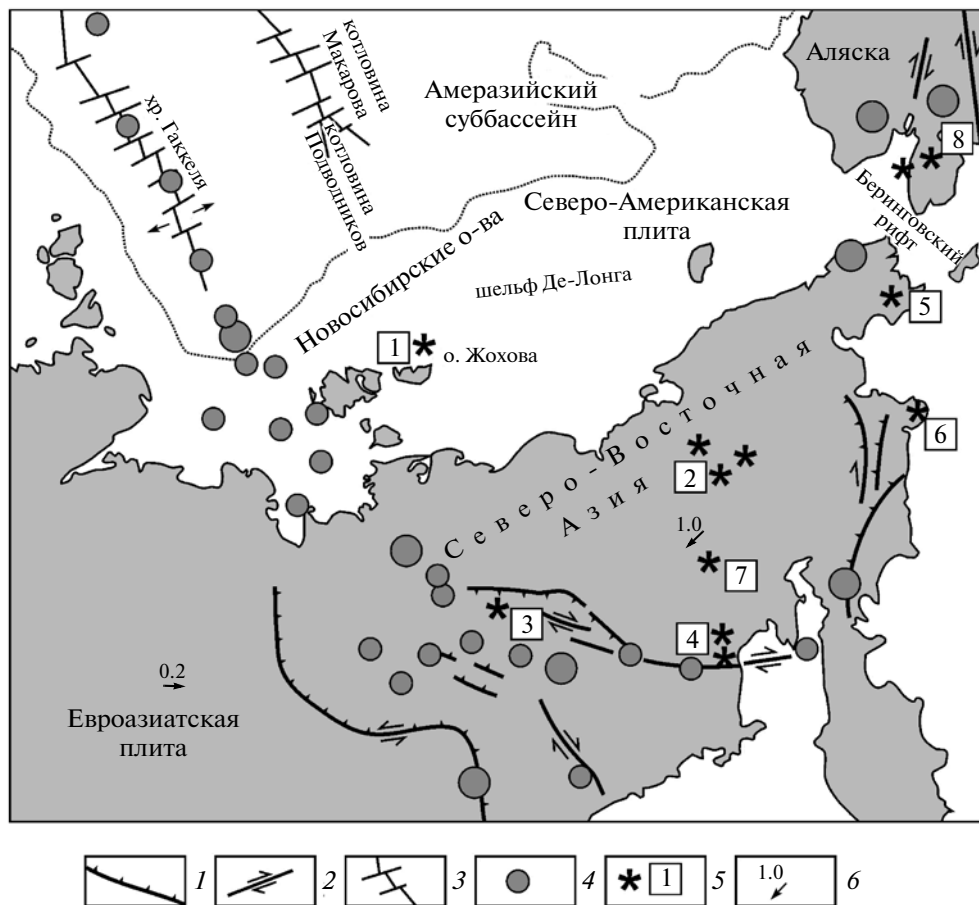


Рис. 1. Схема геологического строения и рельефа Северного Ледовитого океана и распределения центров кайнозойского щелочно-базальтового вулканизма с элементами современной геодинамики [7, 12] с дополнениями авторов.

1, 2 – активные разломы: 1 – сбросы, 2 – сдвиги; 3 – спрединговый характер хребтов; 4 – фокальные механизмы землетрясений с магнитудой 7–6 (соответственно размеру знака); 5 – проявления центров кайнозойского вулканизма преимущественно щелочного типа (вулканы и ареалы): 1 – о. Жохова, 2 – Анюйская группа, 3 – Балаган-Тас, 4 – Вилигинский, 5 – Энмеленский, 6 – Наваринский, 7 – Кедонский, 8 – вулканы Аляски (Имурук, Дэвил М. и др.); 6 – направления и скорость движения литосферных плит.

изотопных систем свинцов, осмия, определением микро-, редкоземельного состава базальтов и ультраосновных включений коллекций вулканитов, собранных на о. Жохова в высокоширотных экспедициях.

Изученные образцы – серые плотные породы, в разной степени пористые или мелкопористые, иногда шлаковидные с охристым налетом. Порфировые мелко-среднезернистые оливиновые базальты с большим количеством крупных и мелких ксеногенных оливинов раздробленных лерцолитовых включений. Кроме ксеногенных оливинов лерцолитовых включений встречаются кристаллы ортопироксенов. Как правило, в контакте с основной стекловатой массой вокруг них образуется широкая кайма, представленная скоплениями мелких моноклинных пироксенов. Редко встречаются ксеногенные зерна шпинели. Основная масса представлена стеклом с мелкими обособлениями калинатровых полевых шпатов и

“игольчатых” зерен клинопироксена. В отдельных образцах наблюдаются крупные резорбированные зерна кварца, неправильной формы и размером до 1.5–2.0 мм, с волнисто-мозаичным погасанием, которое характерно и для крупных ксеногенных оливинов, ортопироксенов. Вкрапленники (10–25%) представлены оливином, клинопироксеном, плагиоклазом. Основная масса, %: вулканическое стекло 20–30, микролиты плагиоклаза 25–35, пироксен (титан-авгит) 20–25, оливин 5–10, рудный 5–12, гидроокислы железа 6–8. Пироксеновые, оливиновые вкрапленники часто встречаются в виде остроугольных осколков. В одном крупном вкрапленнике оливина присутствует зерно хромшпинели.

Микрозондовое изучение минерального состава основной массы вулканитов показало наличие кристаллов лейцитита, титаномагнетита. Ксеноморфные мелкие кристаллы оливина – обломки лерцолитовых оливинов. Они высокомагнезиальные и, как

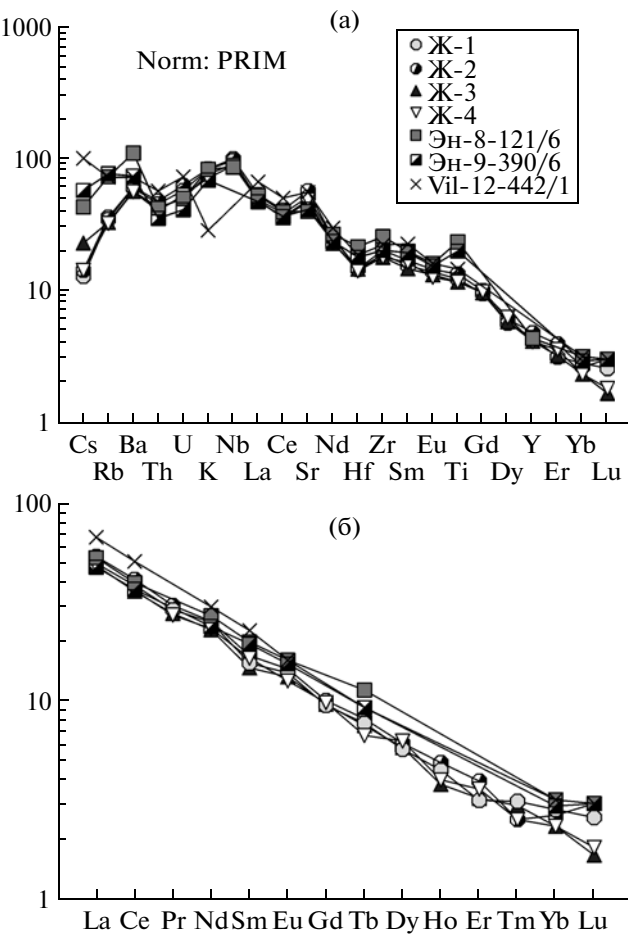


Рис. 2. Мультикомпонентные диаграммы распределения микро- (а) и редкоземельных (б) элементов в щелочных базальтах о. Жохова, нормированных к примитивной мантии [11].

Ж-1, 2, 3, 4 – щелочные базальты о. Жохова; Эн-8-121/6, Эн-9-390/6 – щелочные базальты Энмаленских вулканов; Vil-12-442/1 – Вилигинский вулкан северо-восточной Чукотки [8].

правило, содержат Ni до 0.23–0.49%. Стекло основной массы имеет кислый, не свойственный базальтам состав, %: SiO₂ до 62, Al₂O₃ до 22, Na₂O до 8, K₂O более 2, практически отсутствует Mg. Этот феномен, который был зафиксирован в стекле основной массы, встречается в нескольких точках.

По минеральному, химическому составам изученные образцы базальтов, содержащие включения шпинелевых лерцолитов, относятся к щелочным оливиновым пикробазальтам и в какой-то степени близки к щелочным базальтам континентальных рифтовых зон северо-востока Азии (Энмаленским, Вилигинским вулканам и др.) [8].

Результаты анализа валовых проб базальтов и двух ксенолитов шпинелевых лерцолитов приведены в табл. 1 и представлены на мультикомпо-

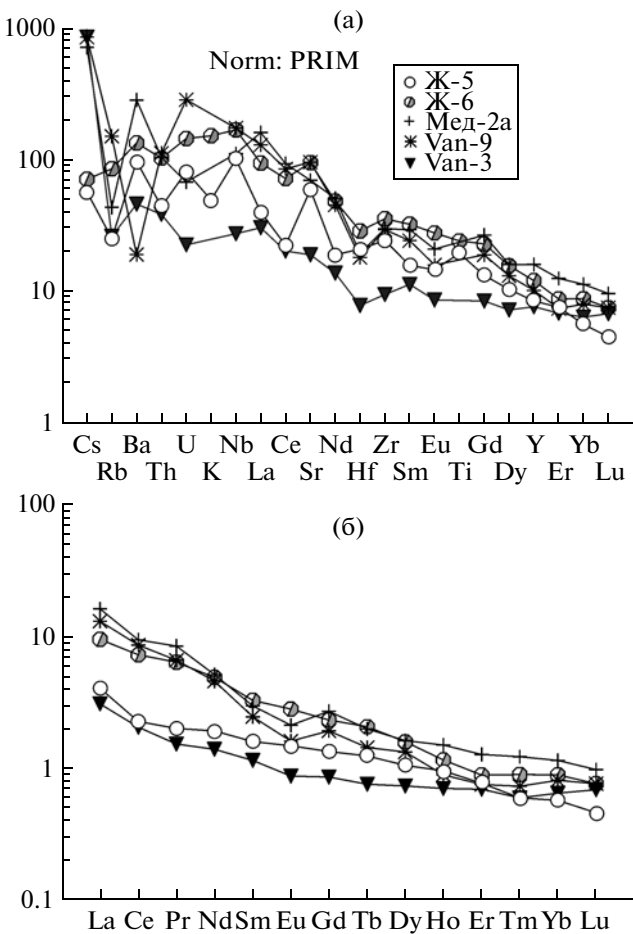


Рис. 3. Мультикомпонентные диаграммы распределения микро- (а) и редкоземельных (б) элементов в ксенолитах шпинелевых лерцолитов, отобранных в базальтах о. Жохова Ж-2, 3, нормированных к примитивной мантии [11].

Ж-5, Ж-6 – ксенолиты о. Жохова; Мед-2002а – ксенолиты вулкана Медвежий (Западное Приморье); Van-9, Van-3, – ксенолиты вулкана Ванцинский (северо-восточный Китай – рифт Тяньшу).

нентных диаграммах, нормированных к примитивной мантии [11]. Для сравнения петрохимического, микро-, редкоземельного составов базальтоидов о. Жохова на диаграммах приведены данные по щелочным базальтам рифтовых зон континентальной части северо-востока Азии (Вилигинский и Энмаленский ареалы) [8].

Как видно из табл. 1 и диаграмм (рис. 2, 3), щелочные базальты о. Жохова отличаются незначительными вариациями петrogenических и микро-, редкоземельных элементов. По петрохимическому составу они могут быть отнесены к высокомагнезиальной, высокошелочной (с преобладанием Na над K) калиево-натровой серии.

По микро- и редкоземельному составу базальты о. Жохова характеризуются сравнительно высокими концентрациями некогерентных и редко-

Таблица 1. Петрохимический (мас. %), микро- и редкоземельный (ppm) состав представительных базальтов и ксенолитов шпинелевых лерцолитов о. Жохова

| Ком- понент | Ж-1 | Ж-2 | Ж-3 | Ж-4 | Ж-5 | Ж-6 | Ж-7 ^A | Ж-8 ^A | Ж-9 | VB-26 | VB-27 | VB-28 | Эн | Вил |
|--------------------------------|-------|--------|-------|-------|--------|--------|------------------|------------------|-------|-------|-------|-------|-------|-------|
| SiO ₂ | 43.84 | 45.18 | 43.90 | 44.79 | 45.11 | 44.06 | 44.68 | 44.76 | 44.63 | 43.70 | 42.40 | 43.70 | 40.85 | 42.50 |
| TiO ₂ | 2.32 | 2.53 | 2.20 | 2.20 | 0.37 | 0.46 | 2.23 | 2.40 | 2.08 | 2.53 | 2.99 | 2.22 | 3.49 | 2.76 |
| Al ₂ O ₃ | 11.92 | 13.10 | 11.33 | 11.62 | 3.62 | 4.02 | 11.91 | 13.12 | 11.49 | 12.30 | 12.00 | 11.50 | 10.70 | 11.90 |
| Fe ₂ O ₃ | 11.96 | 11.64 | 12.77 | 11.54 | 9.4 | 9.36 | 4.97 | 4.87 | 10.10 | 11.90 | 12.30 | 11.80 | 12.36 | 13.54 |
| FeO | — | — | — | — | — | — | 6.27 | 6.97 | 1.18 | — | — | — | — | — |
| MnO | 0.15 | 0.15 | 0.15 | 0.14 | 0.12 | 0.12 | 0.16 | 0.16 | 0.15 | 0.16 | 0.15 | 0.16 | — | 0.16 |
| MgO | 13.08 | 10.39 | 14.12 | 13.96 | 38.02 | 37.68 | 13.98 | 10.78 | 14.68 | 13.20 | 12.70 | 16.40 | 12.40 | 9.00 |
| CaO | 7.50 | 8.19 | 6.97 | 7.30 | 3.02 | 2.61 | 7.50 | 8.25 | 7.06 | 8.09 | 8.34 | 7.51 | 9.53 | 5.0 |
| Na ₂ O | 4.48 | 4.88 | 4.24 | 4.46 | 0.50 | 1.05 | 4.29 | 4.70 | 4.28 | 5.16 | 4.87 | 3.76 | 4.08 | 2.90 |
| K ₂ O | 2.65 | 2.69 | 2.45 | 2.28 | 0.16 | 0.49 | 2.49 | 2.53 | 2.15 | 1.94 | 3.38 | 2.23 | 2.93 | 1.40 |
| P ₂ O ₅ | 0.81 | 0.90 | 0.69 | 0.77 | 0.02 | 0.14 | 0.77 | 0.87 | 0.74 | 0.86 | 0.85 | 0.65 | 0.93 | 0.70 |
| H ₂ O | 0.07 | 0.16 | 0.07 | h. o. | h. o. | h. o. | 0.03 | 0.08 | 0.05 | h. o. | h. o. | h. o. | 0.50 | 0.12 |
| ппп | 0.74 | 0.50 | 0.79 | 0.49 | — | 0.44 | 0.39 | — | 0.88 | <0.1 | <0.1 | <0.1 | 0.52 | — |
| Сумма | 99.52 | 100.32 | 99.68 | 99.55 | 100.33 | 100.43 | 99.66 | 99.50 | 99.47 | 99.90 | 99.80 | 99.80 | 99.10 | 99.3 |
| Sc | 15.4 | 16.5 | 14.2 | 14.7 | 13.0 | 12.5 | 15.7 | 16.2 | 14.5 | 15.3 | 12.5 | 17.4 | 17.2 | 18.0 |
| V | 183.8 | 182.2 | 172.3 | 150.7 | 76.25 | 79.90 | 166.1 | 171.7 | 133.5 | 175.0 | 201.0 | 166.0 | | |
| Cr | 646.0 | 378.0 | 596.0 | 684.0 | 3279 | 2395 | 669.4 | 436.9 | 602.2 | 394.0 | 314.0 | 538.0 | 332.0 | 473.0 |
| Co | 58.13 | 50.53 | 62.48 | 58.78 | 99.61 | 95.41 | 63.87 | 57.24 | 66.92 | 66.80 | 73.10 | 83.10 | 6.2 | 54.0 |
| Ni | 491.5 | 305.9 | 586.8 | 554.7 | 1980.0 | 1879.0 | 497.5 | 297.2 | 550.6 | 456.0 | 385.0 | 641.0 | 293.0 | 416.0 |
| Cu | 20.77 | 20.17 | 54.18 | 31.33 | 18.16 | 36.67 | 43.14 | 46.30 | 47.30 | 51.40 | 66.90 | 51.10 | — | 54.0 |
| Zn | 112.7 | 116.3 | 143.7 | 106.4 | 72.3 | 79.7 | 100.3 | 113.2 | 106.4 | 157.0 | 165.0 | 145.0 | — | 95.0 |
| Ga | 20.18 | 21.30 | 20.26 | 20.13 | 4.51 | 5.71 | 23.89 | 26.61 | 23.80 | 22.30 | 23.50 | 19.40 | — | — |
| Rb | 19.15 | 19.94 | 18.18 | 17.89 | 1.41 | 4.75 | 24.02 | 27.28 | 23.28 | 17.50 | 35.00 | 22.30 | 57.0 | 40.0 |
| Sr | 964 | 1071 | 899.2 | 918.5 | 112.5 | 180.2 | 949.0 | 1057 | 926.0 | 959.0 | 971.0 | 788.0 | 1063 | 1048 |
| Y | 17.21 | 18.71 | 16.11 | 15.96 | 3.32 | 4.73 | 17.59 | 19.51 | 17.17 | h. o. | h. o. | h. o. | 21.0 | 28.0 |
| Zr | 184.7 | 197.6 | 175.0 | 174.9 | 24.09 | 34.82 | 193.1 | 214.2 | 192.1 | 210.0 | 225.0 | 168.0 | 313 | 218 |
| Nb | 62.49 | 64.49 | 58.59 | 57.59 | 6.58 | 11.03 | 65.11 | 70.36 | 62.43 | 84.60 | 93.40 | 62.10 | 98.0 | 69.0 |
| Cs | 0.09 | 0.10 | 0.16 | 0.10 | 0.04 | 0.05 | 0.27 | 0.30 | 0.31 | 0.34 | 0.39 | 0.30 | 0.80 | 0.70 |
| Ba | 373.8 | 380.4 | 353.6 | 350.7 | 61.3 | 84.2 | 343.5 | 374.8 | 343.2 | 436.0 | 572.0 | 345.0 | 844.0 | 451.0 |
| La | 30.98 | 33.60 | 30.26 | 30.01 | 2.54 | 5.97 | 30.06 | 33.42 | 29.51 | 43.70 | 51.30 | 30.90 | 59.0 | 42.0 |
| Ce | 60.61 | 64.96 | 56.51 | 57.31 | 3.58 | 11.51 | 59.08 | 64.99 | 57.56 | 84.40 | 94.70 | 59.60 | 109.6 | 80.0 |
| Pr | 7.20 | 7.58 | 6.91 | 6.79 | 0.50 | 1.59 | 6.83 | 7.63 | 6.67 | 10.10 | 11.40 | 7.00 | — | — |
| Nd | 30.04 | 30.41 | 27.58 | 27.86 | 2.31 | 5.89 | 27.15 | 30.18 | 26.48 | 38.40 | 44.80 | 28.70 | 52.60 | 36.00 |
| Sm | 6.16 | 6.73 | 5.83 | 6.53 | 0.63 | 1.30 | 5.73 | 6.38 | 5.32 | 8.19 | 9.17 | 5.97 | 8.20 | 9.00 |
| Eu | 2.07 | 2.17 | 1.98 | 1.89 | 0.22 | 0.42 | 1.96 | 2.18 | 1.92 | 2.85 | 2.95 | 2.16 | 1.20 | 2.40 |
| Gd | 5.05 | 5.33 | 5.13 | 5.22 | 0.71 | 1.23 | 5.66 | 6.21 | 5.45 | 7.37 | 8.48 | 5.71 | — | — |
| Tb | 0.75 | 0.79 | 0.73 | 0.65 | 0.12 | 0.20 | 0.72 | 0.79 | 0.71 | 1.05 | 1.03 | 0.78 | 1.60 | 0.90 |
| Dy | 3.76 | 4.04 | 3.84 | 4.14 | 0.69 | 1.04 | 3.51 | 3.81 | 3.42 | 4.53 | 4.86 | 3.58 | — | — |
| Ho | 0.66 | 0.72 | 0.56 | 0.59 | 0.14 | 0.17 | 0.63 | 0.68 | 0.59 | 0.81 | 0.78 | 0.66 | — | — |
| Er | 1.36 | 1.70 | 1.39 | 1.55 | 0.33 | 0.38 | 1.46 | 1.60 | 1.43 | 1.70 | 1.73 | 1.60 | — | — |
| Tm | 0.21 | 0.17 | 0.20 | 0.17 | 0.04 | 0.06 | 0.17 | 0.19 | 0.16 | 0.19 | 0.18 | 0.16 | — | 5.00 |
| Yb | 1.25 | 1.17 | 1.03 | 1.03 | 0.25 | 0.39 | 0.97 | 1.16 | 0.98 | 1.28 | 1.04 | 1.04 | 1.60 | 1.40 |
| Lu | 0.17 | 0.20 | 0.11 | 0.12 | 0.03 | 0.05 | 0.14 | 0.15 | 0.14 | 0.15 | 0.13 | 0.15 | 0.20 | 0.20 |
| Hf | 4.06 | 4.10 | 4.08 | 3.96 | 0.59 | 0.81 | 3.66 | 3.99 | 3.52 | 4.98 | 5.19 | 3.97 | 6.60 | 5.20 |
| Ta | 3.46 | 3.52 | 3.08 | 3.33 | 0.37 | 0.54 | 2.99 | 3.16 | 2.91 | 4.99 | 5.35 | 3.76 | 6.80 | 5.10 |
| Pb | 0.29 | 1.09 | 0.80 | 2.29 | 5.51 | 2.32 | 1.56 | 2.25 | 1.57 | 1.05 | 1.14 | 1.22 | — | — |
| Th | 3.98 | 4.19 | 3.75 | 3.54 | 0.39 | 0.91 | 3.25 | 3.60 | 3.19 | 4.83 | 5.63 | 3.73 | 8.00 | 7.00 |
| U | 1.26 | 1.37 | 1.09 | 1.16 | 0.18 | 0.32 | 1.18 | 1.27 | 1.04 | 1.71 | 1.98 | 1.41 | 2.10 | 1.60 |

Примечание. н.о. – не обнаружено; прочерк – не определяли; определение петрогенных, микро- и редкоземельных элементов проводили в Аналитическом центре ДВГИ ДВО РАН с использованием приборов ICAP 6500Duo (“Thermo Scientific Corporation”, США), Agilent 7500 c (“Agilent Technologies”, США); Ж-1, 2, 3, 4, 7^A, 8^A, 9, VB-26, VB-27, VB-28 – щелочные базальты о. Жохова; Ж-5, 6 – включения шпинелевых лерцолитов о. Жохова; Эн – Энмеленские, Вил – Вилигинские щелочные базальты Восточной Чукотки [8].

Таблица 2. Изотопный состав Nd, Sr в щелочных базальтах о. Жохова

| № пробы | Sm | Nd | $^{147}\text{Sm}/^{144}\text{Nd}$ | $^{143}\text{Nd}/^{144}\text{Nd}$ | $\pm 2\sigma$ abs | Rb | Sr | $^{87}\text{Rb}/^{86}\text{Sr}$ $\pm 2\sigma$ % | $^{87}\text{Sr}/^{86}\text{Sr}$ $\pm 2\sigma$ % | $\pm 2\sigma$ abs |
|------------|--------|-------|-----------------------------------|-----------------------------------|-------------------|-------|-------|--|--|-------------------|
| | ppm | ppm | | | | | | | | |
| VB-26 | 7.629 | 36.60 | 0.12613 ± 0.3 | 0.512980 | 0.000003 | 22.23 | 1078 | 0.05963 ± 0.53 | 0.703264 ± 0.002 | 0.000014 |
| Opx | 0.339 | 1.401 | 0.14631 ± 0.3 | 0.512950 | 0.000008 | н. о. | н. о. | н. о. | н. о. | н. о. |
| O1 | 0.118 | 0.538 | 0.12455 ± 0.3 | 0.512916 | 0.000007 | н. о. | н. о. | н. о. | н. о. | н. о. |
| VB-28 | 5.732 | 26.59 | 0.13031 ± 0.3 | 0.512988 | 0.000005 | 29.50 | 774.1 | 0.11021 ± 0.42 | 0.703537 ± 0.001 | 0.000007 |
| O1 | 0.0641 | 0.333 | 0.11664 ± 0.3 | 0.512131 | 0.000015 | н. о. | н. о. | н. о. | н. о. | н. о. |
| Ж-1 | 6.215 | 29.30 | 0.12822 ± 0.3 | 0.513005 | 0.000003 | 21.80 | 850.3 | 0.07416 ± 0.41 | 0.703193 ± 0.001 | 0.000009 |
| Ж-2 | 7.458 | 34.71 | 0.12990 ± 0.3 | 0.512989 | 0.000005 | 30.20 | 1011 | 0.08638 ± 0.45 | 0.703182 ± 0.001 | 0.000008 |
| Ж-3 | 6.378 | 29.87 | 0.12908 ± 0.3 | 0.512993 | 0.000004 | 29.20 | 851.0 | 0.09924 ± 0.51 | 0.703194 ± 0.002 | 0.000014 |
| Ж-4 | 6.326 | 29.80 | 0.12829 ± 0.3 | 0.513003 | 0.000005 | 24.04 | 884.3 | 0.07864 ± 0.44 | 0.703130 ± 0.002 | 0.000014 |

Примечание. Определения изотопов проводили в Центре изотопных исследований ВСЕГЕИ (Санкт-Петербург) на термоионизационном 9-коллекторном масс-спектрометре Triton ("Thermo Finigan", Германия); номера проб соответствуют таковым в табл. 1.

Таблица 3. Изотопный состав свинцов и осмия в щелочных базальтах о. Жохова

| № пробы | $^{206}\text{Pb}/^{204}\text{Pb}$ | $^{207}\text{Pb}/^{204}\text{Pb}$ | $^{208}\text{Pb}/^{204}\text{Pb}$ | Re | Os | $^{187}\text{Re}/^{188}\text{Os}$ | $^{187}\text{Os}/^{188}\text{Os}$ | $\pm 2\sigma$ abs |
|------------|-----------------------------------|-----------------------------------|-----------------------------------|-------|--------|-----------------------------------|-----------------------------------|-------------------|
| | $\pm 2\sigma$ abs | | | ppb | | $\pm 2\sigma$ % | | |
| VB-26 | н. о. | н. о. | н. о. | 0.344 | 0.1833 | 7.28 ± 0.961 | 0.12897 ± 0.38 | 0.00049 |
| VB-28 | н. о. | н. о. | н. о. | 0.486 | 0.2933 | 7.94 ± 1.099 | 0.13348 ± 0.34 | 0.00045 |
| Ж-1 | 17.9765 ± 0.0015 | 15.5211 ± 0.0014 | 37.7559 ± 0.0035 | 0.501 | 0.2815 | 8.56 ± 2.596 | 0.15505 ± 0.56 | 0.00086 |
| Ж-2 | 18.0560 ± 0.0008 | 15.5112 ± 0.0008 | 37.8020 ± 0.0022 | 0.317 | 0.1576 | 9.67 ± 3.150 | 0.15423 ± 0.79 | 0.00121 |
| Ж-3 | 18.0081 ± 0.0010 | 15.5286 ± 0.0011 | 37.7857 ± 0.0035 | 0.515 | 0.3590 | 6.90 ± 2.145 | 0.15278 ± 0.60 | 0.00091 |
| Ж-4 | 18.0318 ± 0.0011 | 15.5107 ± 0.0010 | 37.7620 ± 0.0028 | 0.171 | 0.2385 | 3.45 ± 2.537 | 0.13601 ± 0.34 | 0.00046 |

земельных элементов, свойственными щелочным базальтам океанических островов и внутриплитных вулканитов. Наибольшее сходство они имеют с щелочными базальтами Восточной Чукотки и Приохотья. Характерна и основная тенденция: повышенная концентрация Ti, Ta, легких РЭЭ и низкие содержания Rb, Hf. График распределения микро-, редкоземельных элементов (рис. 2) имеет прямолинейный характер.

Данные по распределению микро-, редкоземельных элементов в ксенолитах шпинелевых лерцолитов, извлеченных из базальтов о. Жохова (два образца), сопоставимы с таковыми из различных вулканов внутриплитных ареалов Дальнего Востока – Медвежинского, Ванцинского и других щелочных вулканов Уссури-Амурского рифта и рифта Танылу (рис. 3). Однако есть отличия, особенно по Rb, Th, K. Это связано с количе-

ственными соотношениями оливина и шпинели во включениях. На примере двух Ванцинских включений (рис. 3) видно, что при высоком содержании шпинели (Van-9) возрастает общий уровень концентраций микро-, редкоземельных элементов.

Изотопный состав щелочных базальтов о. Жохова представлен в табл. 2, 3. Характеристика Sm–Nd-, Rb–Sr-изотопных систем для базальтов и ксенолитов шпинелевых лерцолитов подробно рассмотрена в [3, 4]. Следует подчеркнуть, по данным этих авторов, источник щелочных базальтов расположен в зоне деплетированной мантии, а лерцолиты мантийных ксенолитов захвачены расплавом из зоны практически недифференцированной мантии.

Анализ наших данных подтверждает эти выводы. Изотопный состав базальтов: $^{143}\text{Nd}/^{144}\text{Nd}$

0.512976–0.513005, $^{87}\text{Sr}/^{86}\text{Sr}$ 0.703130–0.703264, $^{206}\text{Pb}/^{204}\text{Pb}$ 17.9255–18.0583, $^{207}\text{Pb}/^{204}\text{Pb}$ 15.4981–15.5286, $^{208}\text{Pb}/^{204}\text{Pb}$ 37.6593–37.8020, $^{187}\text{Os}/^{188}\text{Os}$ 0.12897–0.17538, тогда как для лерцолитов: 0.512964–0.512979, 0.703247–0.703312, 18.1593–18.1732, 15.5539–15.5610, 37.9925–37.9985, 0.12565–0.12800 соответственно.

По данным изотопного состава, щелочные базальты о. Жохова – кайнозойские. Так, тренд в Sm–Nd-изотопных координатах, построенный по 4 анализам (2 валовые пробы + оливин +ортопироксен, СКВО 9.7), соответствует возрасту 10 млн лет с высокой погрешностью, определяемой малым фракционированием Sm/Nd в этих пробах, при начальном изотопном составе Nd, соответствующем +6.4 (в единицах ϵ). Рассчитанный линейный тренд по минеральным фракциям и валовой пробе обр. VB-26 соответствует возрасту 41 млн лет при (ϵ + 6.4), но высокая погрешность определения этого тренда свидетельствует об отсутствии полной гомогенизации изотопного состава на минеральном уровне. Линейные зависимости в Sm–Nd- и Rb–Sr-изотопных координатах по валовым пробам щелочных базальтов определяют вариации возраста при начальном изотопном составе Nd до ϵ + 9.4 и начального отношения изотопов стронция $^{87}\text{Sr}/^{86}\text{Sr}$ 0.70294.

Оценка возраста базальтов о. Жохова на основании K–Ar-изотопного анализа по основной массе соответствует 3 млн лет (неопубликованные данные) – от 0.6 до 6 млн лет [4].

Как отмечено выше, протолит, из которого выплавлялся лерцолит, не имел высокой степени плавления. Ксенолит имеет низкое содержание Mg (38–37%), высокое содержание компонентов базальтового расплава (Ca 3.0–2.6, Al 4.0–3.6), что говорит о близости к составу примитивной континентальной мантии.

Анализ данных изотопного состава Pb базальтов о. Жохова показал, что они имеют менее радиогенные характеристики: $^{206}\text{Pb}/^{204}\text{Pb}$ до 18.06, $^{207}\text{Pb}/^{204}\text{Pb}$ до 15.53, $^{208}\text{Pb}/^{204}\text{Pb}$ до 37.80 по сравнению с современными базальтами срединно-океанических хребтов и океанических островов, связанных с действием горячих точек. Вместе с тем вариации изотопного состава Pb изученных образцов по величине сопоставимы с изотопными отношениями Pb, характерными для щелочных вулканитов континентальных рифтов, а также с изотопным составом щелочных базальтов кратонных областей востока Азии [9, 12]. Изотопный состав Pb в данном случае интерпретируется как результат смешения вещества при геохимической дифференциации, которая проходит в обедненной U, Th мантии либо определяется гетерогенностью U/Pb в верхней мантии и соответствует изотопным отношениям Pb гетерогенной мантии в процессе плавления базальтов.

Анализ изотопного состава Re, Os и вариаций $^{187}\text{Os}/^{188}\text{Os}$ (табл. 2) щелочных базальтов о. Жохова показывает типичное для вулканитов обеднение Os (менее 0.5 ppb) и относительное обогащение Re (0.17–0.85 ppb), что приводит к повышенным величинам Re/Os ($^{187}\text{Re}/^{186}\text{Os}$ до 24.94) и вариации отношения изотопного состава в пределах 0.1289–0.1754. Это соответствует составам современных мантийных расплавов (базальтов COX, океанических островов и дуг). В то же время некоторое повышение величины $^{187}\text{Os}/^{188}\text{Os}$ (до 0.1754) при низких концентрациях Os можно объяснить влиянием коровой контаминации магмы, так как коровые породы значительно обогащены радиогенным изотопом Os ($^{187}\text{Os}/^{188}\text{Os} \gg 1.0$) по сравнению с мантийными составами. Из этого следует, что расплавы щелочных базальтов о. Жохова при их генерации отчасти могли быть контаминированы высокорадиогенным Os осадочных пород.

Суммируя данные, не только изложенные выше, но и результаты изучения базальтов, ультраосновных нодулей о. Жохова и о-вов Де-Лонга [3, 10], следует отметить следующее. Валовый состав, характер распределения микро-, редкоземельных элементов, изотопный состав Nd, Sr, Pb базальтов о. Жохова, несмотря на присутствие ксеногенного материала (оливин, пироксен, шпинель) мантийных ксенолитов, а также метаосадочных коровых пород [6], варьируют в незначительных пределах, что может свидетельствовать об изотопной и геохимической гомогенности мантийного источника и отсутствии значимых влияний процессов контаминации вмещающими коровыми породами. Такая однородность состава может быть следствием специфической природы источника расплавов в мантии, который был сформирован относительно быстро и не испытал длительной эволюции в мантии. Таким образом, по многим геохимическим параметрам изученные базальты и ксенолиты шпинелевых лерцолитов о. Жохова близки к внутристратальным континентальным вулканитам рифтогенной стадии, что подтверждает континентальный характер эволюции тектонических процессов в этой части Северного Ледовитого океана в кайнозое.

Результаты получены в рамках выполнения работ по ГК АМ-02-34/57 с Роснедра и при финансовой поддержке Президиума ДВО РАН по проекту П-12-I-08.

СПИСОК ЛИТЕРАТУРЫ

- Грамберг И.С. // Геотектоника. 2001. № 6. С. 3–19.
- Поселов В.А., Павленкин А.Д., Погребицкий Ю.Е. и др. В сб.: Геологическое строение и геоморфология Северного Ледовитого океана в связи с проблемой внешней границы континентального шельфа

- РФ в Арктическом бассейне. СПб.: ВНИИ Океанология, 2000. С. 77–85.
3. Богдановский О.Г., Минеев С.Д., Ассонов С.С. и др. // Геохимия. 1992. № 1. С. 47–55.
 4. Богдановский О.Г., Силантьев С.А., Карпенко С.Ф. и др. // ДАН. 1993. Т. 330. № 6. С. 750–753.
 5. Савостин Л.А., Силантьев С.А., Богдановский О.Г. // ДАН. 1988. Т. 302. № 6. С. 1443–1447.
 6. Кораго Е.А., Столбов Н.М., Проскурнин В.Ф. В сб.: Осадочные бассейны и геологические предпосылки прогноза новых объектов, перспективных на нефть и газ. Материалы XLIV Тектонического совещания. М.: ГЕОС, 2012. С. 180–186.
 7. Имаев В.С., Имаев Л.П., Козьмин Б.М. // Тихоокеан. геология. 1998. Т. 17. № 2. С. 3–17.
 8. Akinin V.V., Sobolev A.V., Ntaflos Th. Richterw // Contirib Mineral. and Petrol. 2005. V. 150. № 1. P. 85–101.
 9. Сахно В.Г. Новейший и современный вулканализм Дальнего Востока. Позднеплейстоцен-голоценовый этап. Владивосток: Дальнаука, 2008. 123 с.
 10. Сурнин А.А., Округин А.В., Зайцев А.И. // Отеч. геология. 1998. № 6. С. 44–48.
 11. Wood D.A. // J. Geol. 1979. № 3. P. 449–503.
 12. Изменение окружающей среды и климата. Т. II. Новейший вулканализм Северной Евразии / Под ред. В.И. Коваленко, В.В. Ярмолюка, О.А. Богатикова. М.: ИГЕМ, 2008. 375 с.